

京都大学工学部 丹羽義次  
京都大学工学部 中川浩二

### 1 破壊

一般に脆性材料として取り扱かれていたモルタルやコンクリートが圧縮荷重を受けた崩壊するまでには供試体内部においてクラックの発生、発達、すべりといった過程が存在することは今日よく知られるところである。すなはち、一軸あるいは三軸圧縮応力下でモルタルやコンクリート供試体は載荷される応力の履歴に対応した破壊過程を経て崩壊する。

この破壊過程を表すために、前報では応力履歴を受けた供試体の残存一軸圧縮強度比<sup>(1)</sup>およびボンドクラック比<sup>(2)</sup>を用いて、その供試体が受けた最大の応力状態における破壊強度および内部破壊状態を定義し、図-1、2を得た。

また、これらの材料は荷重圧の大きさが大きい範囲ではいわゆる脆性強度は生じず、特に高静水圧下では供試体は崩壊せずに流動し、静水圧を除去した後の力学的諸性質は著しく変化する。<sup>(3)</sup>

このことから図-1の破壊強度曲面は、崩壊界面の内部で同じまであることを考慮して、本報はこの曲面形の概略をモルタルについて求めることを試みたものである。

### 2 實験と実験結果

供試体は $5.5\text{cm} \times 5.5\text{cm} \times 5.5\text{cm}$ のモルタル立方体供試体であり、普通ポルトランドセメントと電気炉煉瓦砂を用い、 $C:S:W = 1:2:0.6$ とした。成形は4回とし $20^{\circ}\text{C}$ の恒温水中養生とし、試験前日に水中から取り出し、恒温( $20 \pm 1^{\circ}\text{C}$ )恒温( $90 \pm 5\%$ )室内に保存した。

用いた試験機は島津製作所製三軸圧縮試験機であり、供試体断面と鋼圧盤との間の摩擦の影響を小さくするため、テフロンシートにシリコングリースを塗布したものと潤滑剤として用いた。応力履歴を与えるための載荷速度は比例載荷とし、所定の応力状態に達した後1分間荷重を保持し、やはり荷重を同時にままの応力状態を保証した。降荷時に供試体は、崩壊荷重の最大圧縮応力方向と両方向の一軸圧縮試験を行はり、残存強度を求めた。この残存強度をその時の標準の一軸圧

$$\text{注1 破壊強度 } \alpha = 1 - \frac{(\text{載荷履歴を受けた供試体の一軸圧縮強度})}{(\text{載荷履歴を受けない供試体の一軸圧縮強度})}$$

$$\text{注2 内部破壊状態 } \beta = \frac{(\text{内部とする領域中の分離した骨材-マトリックス境界の長さの総和})}{(\text{内部とする領域中の骨材-マトリックス境界の長さの総和})}$$

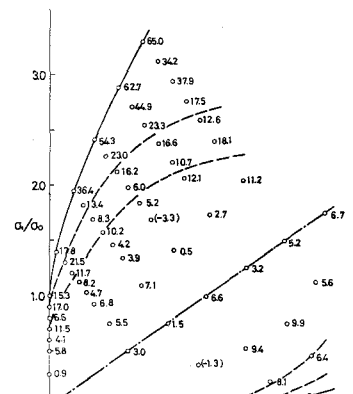


図-1 Roundelie 面に沿ったコンクリートの破壊強度(%)。○:供試体

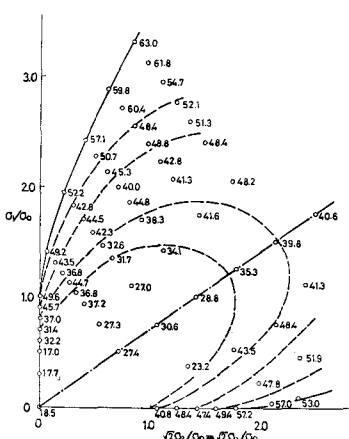


図-2 Roundelie 面に沿ったコンクリートの内部破壊状態(%) ○:供試体の一軸圧縮強度。

縮强度に対する比 $\sigma/\sigma_0$ を表わし、与えられた応力の最大圧縮応力との関係を表したもののが図-3, 4である。応力比はいわゆる圧縮試験 ( $\sigma_1 \geq \sigma_2 = \sigma_3$ ) と伸張試験 ( $\sigma_1 = \sigma_2 > \sigma_3$ ) を行ない、更に平手合計17種のものととて。

これらの中  
総数から、お  
よその履歴応  
力-残存強度比曲線を示め  
、それと  
応力比に対する  
3種強度

$20\%(\sigma/\sigma_0 = 0.8)$ ,  
 $40\%(\sigma/\sigma_0 = 0.6)$ の曲

線と求め、Rendulic 応力面に表示したもののが図-5である。

### 3. 検討

モルタル供試体は高向軸応力下では明確な崩壊現象を示さない。そして、ある応力状態に達するまでは無数の応力経路が考えられ、それらの経路に応じて破壊強度が予想される。

ある応力履歴を与えるのにもっとも供試体の崩壊と進行させなり応力経路としこそは、比例載荷よりも静水圧端に止む載荷経路が考えられるが、その経路を求ることは困難である。そのため、ここでは比例載荷経路をこれに代るものとして採用した。これによりここで得た破壊強度の値は、それを他の応力状態に外なる最小の破壊強度値を示すと考えた。すなはちここで用いた破壊の強度の表示方法の範囲で破壊強度曲面を求められ、それは崩壊曲面の内部にありて閉じるものであることが示された。

### 参考文献

- 1) 丹羽, 小林, 小柳, 中川; "三軸圧縮荷重下のコンクリートの破壊過程に関する二、三の考察" 昭和45年土木学会論文支部年次学術講演会集, 昭. 45. 5.
- 2) 丹羽, 小林, 中川; "静水圧下におけるモルタルの崩壊について" 土木学会第24回年次学術講演会論文摘要集, 昭. 44. 9.

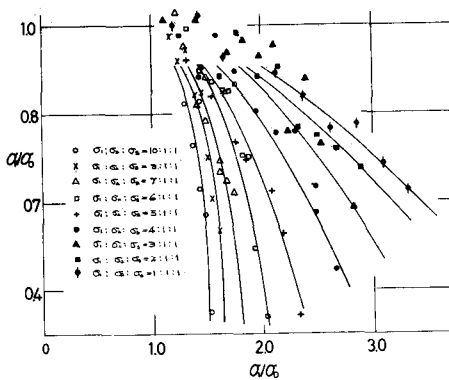


図-3. 摻拌-単軸圧縮強度比で無次元化した応力比を図-4 摻拌-単軸圧縮強度比で無次元化した応力比を  
表すため供試体の初期-軸圧縮強度比( $\sigma/\sigma_0$ )と 表すため供試体の初期-軸圧縮強度比( $\sigma/\sigma_0$ )と  
最大履歴応力比 ( $\sigma_1 \geq \sigma_2 = \sigma_3$ ) 最大履歴応力比 ( $\sigma_1 \geq \sigma_2 > \sigma_3$ )

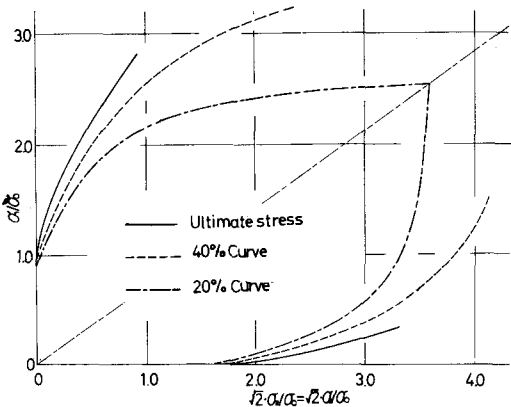
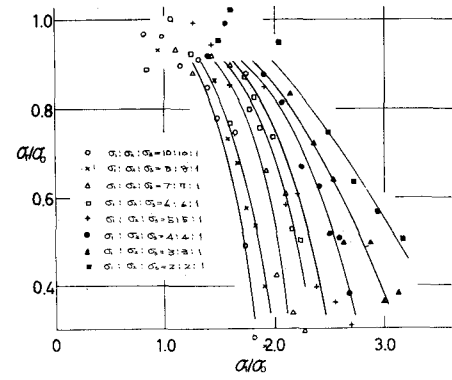


図-5. Rendulic 応力面に示したモルタルの破壊強度  
曲面。崩壊曲面、破壊強度20%, 40%の曲面  
を示している。○: 摻拌-軸圧縮強度